

بررسی تیتر آنتی‌بادی نانوسفر کوپلیمری دو بلوکه PLA-PEG حاوی پروتئین نوترکیب کایمیریک آنتی‌ژن محافظ و فاکتور کشنده باسیلوس آنتراسیس

حسین هنری^{*} (Ph.D)، محمدابراهیم مینایی (Ph.D)، حسن میرحاج (Ph.D)، سید مسیح اعتماد ایوبی (Ph.D)

مرکز علم و فناوری زیست‌شناسی، دانشگاه جامع امام حسین (ع)، تهران، ایران

تاریخ دریافت: ۱۳۹۹/۲/۵ تاریخ پذیرش: ۱۳۹۹/۹/۱۷

* نویسنده مسئول، تلفن: ۰۲۱-۰۵۱۲۲-۷۷۱، E-mail: Honari.hosein@gmail.com

چکیده

هدف: تا به امروز واکسن‌های زیادی برای بیماری سیاه‌زخم ساخته شده؛ اما هنوز واکسنی ایده‌آل تولید نشده است. در این تحقیق، برای رفع مشکلات ناشی از واکسن‌های موجود و افزایش کارایی واکسن پیشنهادی، از پروتئین نوترکیب کایمیریک حاوی دمین ۱ فاکتور کشنده و دمین ۴ آنتی‌ژن محافظ باسیلوس آنتراسیس در نانوکپسول کوپلیمری استفاده شد.

مواد و روش‌ها: در این مطالعه تجربی، برای تولید نانوکپسول‌های حاوی پروتئین نوترکیب کایمیریک آنتی‌ژن محافظ و فاکتور کشنده باسیلوس آنتراسیس از روش امولسیون از روشن احتمالی روشن تولید نانوذرات پلی‌لاکتیک اسید- پلی‌اتیلن گلیکول (PLA-PEG) (بر روی ماندگاری پروتئین‌های نوترکیب بررسی شد. به منظور تولید آنتی‌بادی و بررسی پاسخ ایمنی، از موش‌های سوری به عنوان نمونه تست و شاهد استفاده شد.

یافته‌ها: میانگین تیتر آنتی‌بادی تولیدی علیه پروتئین‌های کایمیریک به صورت بارگذاری شده نسبت به آزاد، اختلاف معنی‌داری را نشان می‌دهد. اختلاف تیتر آنتی‌بادی بین گروه‌های یک بار تزریق بارگذاری شده و دو بار تزریق بارگذاری شده و آنتی‌ژن آزاد، معنی‌دار است و بیش ترین تیتر آنتی‌بادی، مربوط به دو بار تزریق بارگذاری شده است. هم‌چنین بین تزریق بارگذاری شده یک تزریق و آزاد، اختلاف معنی‌داری مشاهده گردید. این مطلب بیانگر این است که می‌توان با بارگذاری آنتی‌ژن‌های کایمیریک در نانوذرات PLA-PEG و یک بار تزریق (به جای چهار تزریق) میزان آنتی‌بادی بیش‌تری تولید نمود.

نتیجه‌گیری: نتایج حاصل از این مطالعه نشان داد که دمین چهار آنتی‌ژن محافظ و دمین اول فاکتور کشنده باسیلوس آنتراسیس با یکدیگر ادغام پذیرند و آنتی‌ژن فعالی را تولید می‌نماید. این آنتی‌ژن‌های کایمیریک تولید شده (LFD1-PA4)، فعال است و قادر به تحریک سیستم دفاعی حیوان آزمایشگاهی می‌باشد. هم‌چنین نانو حامل‌های حاوی آنتی‌ژن تولیدی با رهایش کنترل شده، می‌تواند سیستم ایمنی حیوان آزمایشگاهی را تحریک نماید.

واژه‌های کلیدی: پروتئین‌های بهم پیوسته نوترکیب، آنتی‌ژن‌های باکتریایی، باسیلوس آنتراسیس، واکسن‌ها، سیاه‌زخم

باسیلوس آنتراسیس، به منظور بررسی توانایی شان برای القای ایمنی حمایتی علیه بیماری، مورد مطالعه قرار گرفته‌اند. از شناخته‌شده‌ترین این آنتی‌ژن‌ها می‌توان کپسول، لایه S، پلی‌ساقارید‌های سطحی و پروتئین‌های دیگر را نام برد. تنها پروتئین‌هایی که با یکدیگر توکسین سیاه‌زخم را می‌سازند، باعث تولید آنتی‌بادی‌های قابل شناسایی می‌شوند [۳۴]. بیش‌تر واکسن‌های موجود، بر پایه کار بر روی آنتی‌ژن محافظ سیاه‌زخم مجوز گرفته در انگلستان (AVP)، از کشت سویه استرن باسیلوس آنتراسیس فیلتر شده در رسوب آلوم (Alum) به دست می‌آید؛ در نتیجه دارای حداکثر پروتئین PA تولیدی

مقدمه

سیاه‌زخم یک بیماری مشترک بین انسان و دام است. اگرچه سیاه‌زخم در سال‌های گذشته، یک بیماری مخرب از نظر اقتصادی در حیوانات اهلی به شمار می‌رفت و امروزه هر چند این بیماری با توسعه خدمات بهداشتی- درمانی مناسب کنترل شده است؛ ولی عامل مهمی در تهدیدات ترویریستی به شمار می‌رود [۱]. اگر بیماری سیاه‌زخم در مراحل اولیه تشخیص داده شود، عفونت با آنتی‌بیوتیک‌ها درمان می‌شود؛ اما علاوه‌هایی به موقع ظاهر نمی‌شوند تا درمان آنتی‌بیوتیکی مؤثر باشد. بنابراین واکسیناسیون برای حمایت اشخاصی که در معرض خطر هستند، الزامی است [۲]. از این‌رو تعدادی از آنتی‌ژن‌های

بهبود اینمی ایجاد شده (در صورت انتخاب آنتیزن مناسب)، اختصاصی بودن، سازگاری و ذخیره‌سازی و نگهداری آسان تر (به عنوان مثال با استفاده از فرمولاسیون خشک شده). از طرفی این موضوع، فرصت‌های بیشتری برای مهندسی واکسن‌ها و تعیین فرمولاسیون مناسب برای ایجاد پاسخ اینمی به وجود آورده است [۱۱].

مطالعات اخیر نشان می‌دهد که برای دستیابی به واکسنی کارآمد، استفاده از فاکتور کشنده امری ضروری است و به خاطر وجود ابی‌توب‌هایی که در ساختار فاکتور کشنده وجود دارد، تیتر آنتی‌بادی تولید شده (القا شده) علیه این آنتیزن بالاست [۴]. از طرفی مشخص شده است که آنتی‌بادی‌های منوکلونال تولیدشده علیه LF، بیشترین برهم کش را با دمین ۱ فاکتور کشنده (LFD1) دارند که این نشان دهنده اهمیت این ناحیه است [۱۲]. هم‌چنین ابی‌توب‌های LFD1 تقریباً دو برابر هر کدام از نواحی دیگر در تولید آنتی‌بادی نقش دارد [۱۳]. بنابراین در این تحقیق برای رفع مشکلات ناشی از واکسن‌های موجود و افزایش کارایی واکسن پیشنهادی، از دو دمین مهم آنتیزن باکتریایی ذکر شده، استفاده شد. بدین منظور زن‌های *lfd1* و *pa4* به هم الحاق شدند و قطعه زنی *lfd1-pa4* به صورت کایمر مورد مطالعه قرار گرفت.

مواد و روش‌ها

قطعه زنی الحقی شامل زن‌های *lfd1* (توالی اسید‌آمینه‌ای ۱-۲۵۷ از انتهای آینمی فاکتور کشنده) و *pa4* (۵۱۰ جفت باز از انتهای کربوکسیلی آنتیزن محافظ) (توالی بازی ۱۷۸۶-۲۲۹۶ انتهای کربوکسیلی آنتیزن محافظ) به باکتری *E.coli* انتقال و در میزبان باکتریایی بیان شد. لازم به ذکر است که باکتری‌های حاوی ناقل بیانی زن‌های *lfd1* و *pad4* از مرکز علم و فناوری زیست‌شناسی دانشگاه جامع امام حسین (ع) تهیی گردید. در ادامه پروتئین تولیدی از میزبان باکتریایی، تخلیص و آنتیزن کایمر در نانوسفرهای کوپلیمر دوبلوکه PEG-PLA بازگذاری شد. برای تولید نانوکپسول‌ها از روش امولسیون دوگانه تبخیر حلal استفاده شد [۱۴]. برای بررسی اندازه و پتانسیل زتا (Zeta Potential) نانوذرات تولید شده از دستگاه DLS مدل Malvern ساخت کشور انگلستان متعلق به دانشگاه علوم پزشکی بقیه... (ع) استفاده شد. برای بررسی الگوی رهایش پروتئین نوترکیب کایمیریک *LFD1-PA4* از نانوکپسول، مقداری از نانوذرات PLA-PEG حاوی ۳ میلی‌گرم پروتئین در حجم ۵۰۰ میکرولیتر محلول PBS درون میکروتیوب ۲ میلی‌لیتری ریخته و با هم زدن پراکنده شد. میکروتیوب درون شبکر انکوباتور در دمای ۳۷ درجه سانتی‌گراد و ۲۰۰ rpm قرار

است. در واکسنی که در ایالات متحده آمریکا اجازه استفاده گرفته (AVA) است، آنتیزن بر روی هیدروکسید آلومینیوم جذب می‌شود. واکسن‌های انسانی کنونی از حالت ایده‌آل فاصله دارند، تولید آن‌ها گران است، احتیاج به دوزهای تکراری دارند و ممکن است اثرات جانبی گذرا در برخی افراد ایجاد کنند. هم‌چنین شواهدی موجود است که ممکن است حفاظت کامل علیه تمام سویه‌های این باکتری ایجاد نشود. در واقع مشکل اصلی این واکسن‌ها برنامه طولانی واکسیناسیون (شش واکسیناسیون طی هجده ماه) از یک طرف و ایجاد طیف محدود اینمی است [۵].

دلیل ایمونوژنیسیتی پایین واکسن PA، عدم پایداری و مقاومت کم PA آزاد در شرایط سخت و ناملاج است [۳]. با توجه به دلایل ذکر شده، انواع متفاوتی از راهکارهای تحويلی از قبیل میکرو و نانوسفرهای پلیمری، ایمپلنت‌های زیست تخریب‌پذیر، هیدروژلهای قابل تزریق و PEG دار کردن حامل‌ها به طور وسیعی ارائه شده و مورد توجه قرار گرفته است [۶، ۷]. از جمله مزایای این سیستم‌های تحويل دارو، سطح مناسب غلظت دارو درون خون برای مدت زمانی طولانی است که از تزریق دارو به طور مرتب جلوگیری به عمل می‌آید [۸]. استفاده از پلیمرها به عنوان حامل واکسن، نه تنها باعث محافظت در برای شرایط اسیدی و پروتئازهای دستگاه گوارش خواهد شد، بلکه با رهایش آهسته و طولانی مدت آنتیزن و عرضه آن به سیستم اینمی بدن، پاسخ اینمی مؤثر ایجاد خواهد شد. برای این منظور، می‌توان از پلیمرهای زیست‌تخریب‌پذیر و زیست‌سازگار مختلفی استفاده نمود که به صورت طبیعی و یا مصنوعی تولید می‌شوند [۹].

با وجود مزایای واکسن‌های حاوی ارگانیسم زنده، مشکلاتی نیز وجود دارد؛ به عنوان مثال بسیاری از اجزای این ارگانیسم‌ها برای تحریک پاسخ سیستم اینمی، مورد نیاز نیستند ولی در عمل کل ارگانیسم، به عنوان واکسن، به بدن موجود واکسینه شده منتقل می‌شوند. این بخش‌های اضافی می‌توانند با کاهش سطح حفاظت ایجاد شده در مقابل آنتیزن‌های محافظ و در نهایت پاسخ نامناسب و ناکارآمد سیستم اینمی، موجب کاهش کارایی واکسیناسیون گردد و در برخی موارد حتی منجر به ایجاد آسیب در موجود واکسینه شده، گردد. در برخی موارد نادر نیز ارگانیسم ضعیف شده به حالت بیماری‌زای خود تبدیل و موجب ایجاد بیماری در موجود زنده می‌گردد [۱۰].

با توجه به این مشکلات، امروزه سعی بر توسعه واکسن‌های حاوی یک یا چند جزء مشخص از ارگانیسم است. این واکسن‌ها تحت عنوان واکسن‌های زیر واحدی موسومند و مزیت‌های قابل توجهی بر واکسن‌های سنتی دارند؛ از جمله

خونگیری از موش‌ها در سه نوبت انجام شد. خونگیری‌ها یک هفته پس از تزریق دوم (روز ۲۱)، یک هفته پس از تزریق سوم (روز ۳۵) و یک هفته پس از تزریق چهارم (روز ۴۹) از گوشه چشم هر موش صورت پذیرفت. به منظور تعیین تیتر آنتیبادی موجود در سرم موش از روش الیزای غیر مستقیم به روش زیر استفاده گردید:

پروتئین آنتی‌زن با غلظت ۵ میکروگرم در میلی‌لیتر در بافر PBS با حجم ۱۰۰ میکرولیتر به حفره‌های پلیت الیزا (Nunc, Denmark) اضافه شد. پلیت پوشیده شده با پروتئین آنتی‌زن به مدت یک شب در دمای ۴ درجه سانتی‌گراد نگهداری شد. سپس سه بار با بافر شستشو (باfer PBS حاوی ۵/۰ درصد تؤین ۲۰) شسته شد. جهت بلوکه کردن از بافر PBS حاوی ۱ درصد آلبومین گاوی (BSA) استفاده شد. حجم ۲۰۰ میکرولیتر از این بافر به هر حفره اضافه و سپس یک ساعت در دمای آزمایشگاه نگهداری شد. مجدداً پلیت سه بار با بافر شستشو، شسته شد و نمونه‌های سرمی با رقت‌های ۱ به ۱، ۲۰۰، ۱ به ۸۰۰ و ... در حجم ۱۰۰ میکرولیتر به هر حفره اضافه و پلیت به مدت ۲ ساعت در دمای آزمایشگاه نگهداری شد. پس از شست‌وشوی پلیت، آنتی‌بادی موشی کوتزوجک با آنزیم پرکسیداز دارای رقت ۱ به ۱۰۰۰ به تمام حفره‌ها اضافه و به مدت ۲ ساعت نگهداری شد. پس از شست‌وشوی پلیت، سوبسترای اختصاصی OPD به حفره‌ها اضافه گردید. مقدار ۱۰۰ میکرولیتر اسید سولفوریک ۵/۰ مولار به عنوان متوقف‌کننده واکنش در هر چاهک اضافه شد. شدت رنگ (OD) در طول موج ۴۹۵ نانومتر با استفاده از دستگاه الیزا ریدر مدل Stat Fax-2100 ثبت گردید. از روی منحنی استاندارد غلظت آنتی‌بادی مورد اندازه‌گیری قرار گرفت [۱۶].

آنالیز آماری. برای بررسی آماری داده‌های حاصل از تیتر آنتی‌بادی تولید شده توسط الیزای غیرمستقیم در سرم، از آزمون‌های ANOVA و T-test استفاده شد. این آزمون برای مقایسه میانگین تیتر آنتی‌بادی نمونه‌ها (آزمون دانکن برای بررسی اختلاف بین گروه‌ها) در سطح خطای پنج درصد و با استفاده از نرم‌افزار SPSS نسخه ۲۴ انجام شد.

داده شد. در هر مرحله زمانی برای برداشت نمونه، محلول حاوی نانوذرات به مدت ۵ دقیقه با سرعت ۱۰۰۰۰ دور، سانتریفیوژ ۵۰۰ میکرولیتر از محلول رویی برداشته و به همان میزان باfer تازه جایگزین می‌شد و پس از ورتكس کردن مجدد در شیکر انکوباتور قرار می‌گرفت. انجام این آزمون به مدت ۴۹ روز ادامه داشت. در ابتدا، ۴ ساعت پس از انجام رهایش و در ادامه در فاصله زمانی هر هفت روز انجام گرفت. سپس با استفاده از روش پروتئین‌سنحی برادفورد با سه بار تکرار، غلظت پروتئین موجود در نمونه تعیین گردید. در نهایت منحنی درصد تجمعی پروتئین رهایش از نانوذرات در مدت زمان‌های تعیین شده، ترسیم شد.

برای مشخص نمودن تأثیر احتمالی روش تولید نانوذره PLA-PEG بر روی پایداری و ماندگاری پروتئین نوترکیب، ابتدا حجم مشخصی از محلول حاوی نانوذره پس از تولید به یک لوله فالکون ۱۵ میلی‌لیتری منتقل و سپس سانتریفیوژ شد. پس از حذف محلول رویی، به رسوب آن‌ها ۲ میلی‌لیتر باfer NaOH رهایش نانوذره (محلول حاوی SDS ۵ درصد و ۰.۱M) اضافه شد. سپس نمونه نانوذرات در مدت زمان ۱۶ ساعت در محلول رهایش سریع بر روی شیکر به آرامی شیک شدند [۱۵]. سپس نمونه جمع‌آوری شده از تخریب کامل نانوذرات به همراه حجم مشخص پروتئین نوترکیب، در چاهک‌های ۷L SDS-PAGE ۱۲ درصد الکتروفورز گردید. در نهایت ۷L SDS-PAGE رنگ‌آمیزی شد تا وجود باندهای پروتئینی رهایش شده از نانوذرات مشخص شود.

برای انجام اینمنی‌زایی، پروتئین نوترکیب LFD1-PA4 طی چهار نوبت به گروه تست و شاهد موش‌های سوری (از نوع Mus musculus ماده با وزن ۲۰-۲۵ گرم و سن ۴ هفته) به ترتیب در روز ۱، ۱۴، ۲۸ و ۴۲ به صورت زیرپوستی تزریق شد. هم‌چنین پروتئین نوترکیب PLA-PEG نیز به صورت یک تزریق (روز ۱) و دو تزریق (روز ۱ و ۲۸) به صورت زیرپوستی انجام گردید (جدول ۱). برای حیوانات شاهد نیز به جای آنتی‌زن از نانوذرات فاقد پروتئین و PBS استفاده شد.

جدول ۱. گروه‌ها، زمان و مقادیر پروتئینی غیر بارگذاری شده تزریقی در مراحل اینمن سازی

روش تزریق	تعداد موش‌ها در هر گروه	پروتئین تزریقی					نحوه
		تزریق ۴ میکروگرم)	تزریق ۳ میکروگرم)	تزریق ۲ میکروگرم)	تزریق ۱ میکروگرم)	روز اول	
زیرپوستی	۵ سر در هر گروه	+	+	+	+	+	پروتئین کایمیر آزاد LFD1-PA4
		-	+	-	+		پروتئین کایمیر LFD1-PA4 بارگذاری شده در نانوذرات
		+	+	+	+		PBS

بارگذاری شده در PEG-PLA با میانگین اندازه ۹۳/۷ نانومتر و پتانسیل زتا ۲۳/۱-میلی ولت $PDI=0/280$ تهیه شد. این نتایج با برخی از مطالعات مطابقت دارد (شکل ۲ و ۳).

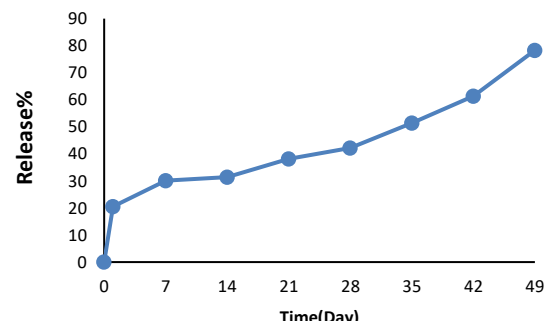
با استفاده از محلول رهایش، پروتئین‌های کایمر LFD1-PA4 در نانوذرات، میزان پروتئین رهاشده از شبکه پلیمری مذکور با قرائت جذب نوری مایع روی محاسبه گردید. پس از بررسی پروتئین‌های رهاشده از نانوذرات با پروتئین‌های پیش از بارگذاری بر روی ژل SDS-PAGE (شکل ۴) تفاوتی مشاهده نگردید.

به منظور ارزیابی تیتر آنتی‌بادی تولید شده از تزریق پروتئین کایمر (LFD1-PA4) به سه شکل آزاد (چهار بار تزریق)، بارگذاری شده یک بار تزریق و بارگذاری شده دو بار تزریق و محاسبه میزان آن در هر مرحله تزریق، از روش الایزا غیرمستقیم علیه آنتی‌ژن‌های LFD1-PA4 و PA4 استفاده شد. غلظت آنتی‌بادی تولید شده بر اساس جذب نوری (OD) تزریق سوم (رقت ۱/۲۰۰) و منحنی استاندارد و سه بار تکرار، اندازه‌گیری و نتایج در شکل ۵ مقایسه شد. نتایج نشان‌دهنده این بود که بالاترین میزان غلظت آنتی‌بادی در تمامی تجویزها مربوط به خون‌گیری سوم بوده که یک هفته پس از آخرین تزریق، خون‌گیری از موش‌ها به عمل آمده است. همچنین در خون‌گیری آخر، بیشترین غلظت آنتی‌بادی، علیه نانوذرات بارگذاری شده با آنتی‌ژن کایمر LFD1-PA4 اندازه‌گیری شد.

نتایج به دست آمده از آزمون دانکن نشان می‌دهد اختلاف بین گروه‌ها شامل آنتی‌ژن آزاد (گروه شماره ۳۱)، بارگذاری شده یک تزریق (گروه شماره ۳۲) و بارگذاری شده دو تزریق (گروه شماره ۳۳) و نیز گروه‌های کنترل ۱ و ۲ (شامل PBS و PLA-PEG) در سطح خطای پنج درصد معنی‌دار است (جدول ۳). مقایسه میانگین‌ها در شکل ۶ نشان داده شده است.

نتایج

رهایش پروتئین از نانوذرات PEG-PLA به مدت ۴۹ روز (زمان آخرین مرحله خونگیری) بررسی و بر اساس درصد تجمعی رهایش پروتئین در نمودار نمایش داده شد. همان‌طور که در شکل ۱ مشاهده می‌شود بعد از این مدت زمان در حدود ۷۸ درصد رهایش از نانوذرات PEG-PLA انجام شده است.



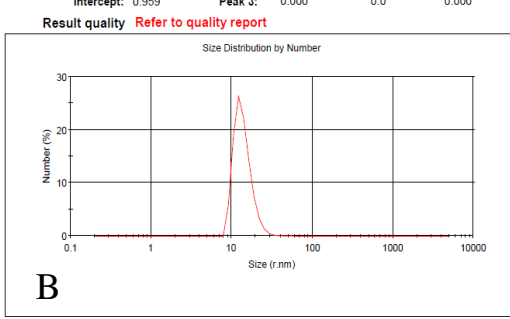
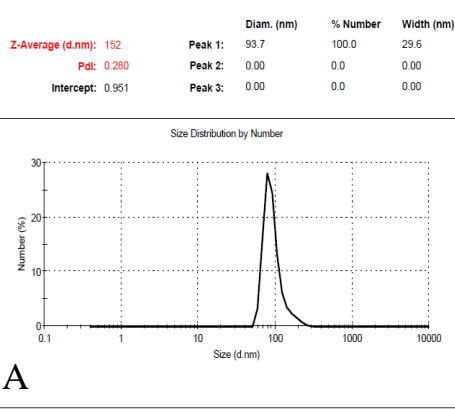
شکل ۱. نتایج درصد تجمعی رهایش پروتئین نوترکیب کایمر از نانوذرات PEG-PLA در طول مدت ۴۹ روز

پس از آماده‌سازی نمونه، نانوذرات PEG-PLA تولید شده در حضور پروتئین کایمر LFD1-PA4 و نبود پروتئین توسط دستگاه DLS بررسی شدند. از نظر پتانسیل زتا و شاخص پراکندگی (PDI) نانوذرات فوق در محدوده مناسبی قرار داشتند (جدول ۲).

جدول ۲. بررسی خصوصیات فیزیکوشیمیایی نانوذرات با استفاده از پراش نور پوپیا

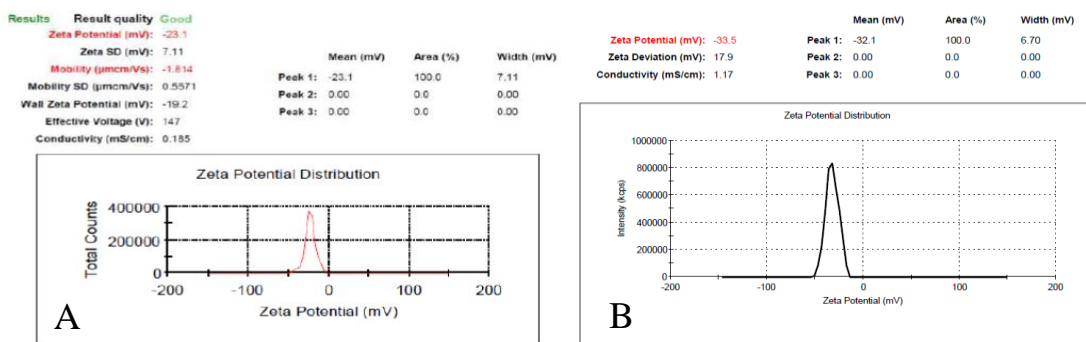
PDI	اندازه (نانومتر)	پتانسیل زتا (میلی ولت)	نمونه کنترل
۰/۳۳۷	۱۳/۸۸	-۳۲/۱	نانوذرات حاوی پروتئین
۰/۲۸۰	۹۳/۷	-۲۳/۱	LFD1-PA ^۴ کایمر

در تحقیق حاضر با تغییر در پارامترهای موثر در فرایند ساخت نانوذرات، نهایتاً نانوذرات آنتی‌ژن کایمر LFD1-PA4

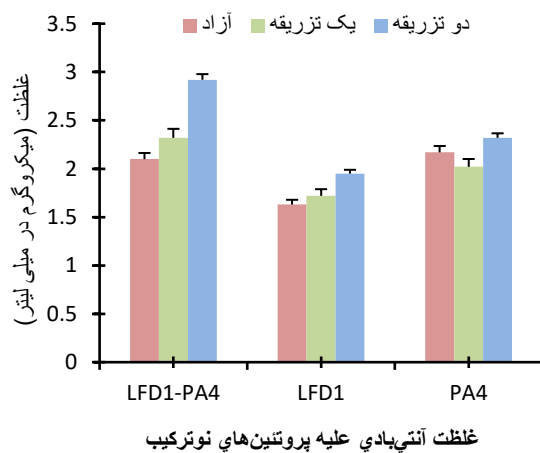


شکل ۲. نمودار بررسی بازه توزیع اندازه نانوذرات PEG-PLA حاوی پروتئین کایمر (A) و فاقد پروتئین (B) در شرایط بهینه توسط دستگاه

DLS

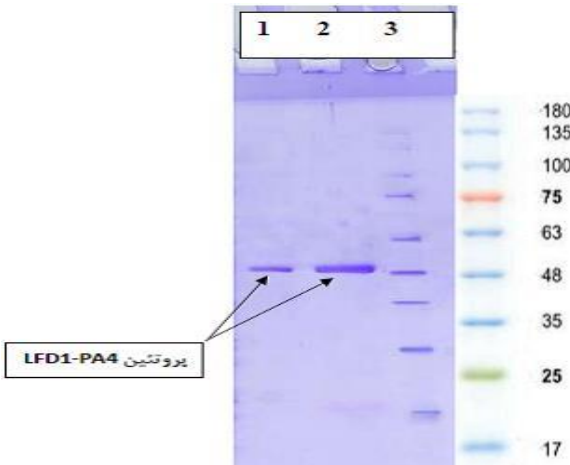


شکل ۳. نمودار بررسی پتانسیل زتای نانوذرات PEG-PLA حاوی پروتئین کایمر (A) و فاقد پروتئین (B) در شرایط بهینه توسط دستگاه DLS



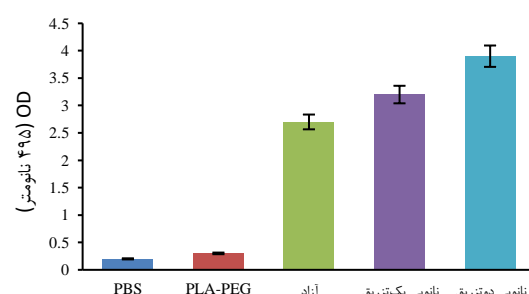
شکل ۶. مقایسه میانگین تیتر آنتی بادی تولید شده ناشی از تزریق پروتئین کایمر LFD1-PA4 به سه شکل آزاد، بارگذاری شده یک تزریق و بارگذاری شده دو تزریق علیه آنتی ژن LFD1-PA4.

جدول ۳. نتایج آزمون دانکن: آنتی ژن آزاد، بارگذاری شده یک تزریق و بارگذاری شده دو تزریق در گروه های مجزا قرار گرفته‌اند.



شکل ۴. الف - الگوی الکتروفورز ارزیابی کیفیت پروتئین کایمر- LFD1-PA4 رهایش یافته از نانوذرات PEG-PLA: ستون ۱ - پروتئین LFD1-PA4 رهایش یافته از نانوذرات PEG-PLA . ستون ۲ - پروتئین LFD1-PA4 قبل از بارگذاری در نانوذرات PEG-PLA ستون ۳ - نشانگر ملکولی پروتئین. با مقایسه الگوی باندی پروتئین- LFD1-PA4 پیش از بارگذاری در نانوذرات PEG-PLA و پس از رهایش، تغییری در کیفیت آن ایجاد نشده است.

G31_G32					
Duncan ^a					
VAR00021	N	Subset for alpha = 0.05			
		1	2	3	4
1.00	3	.1427			
2.00	3		.2347		
31.00	3			2.7330	
32.00	3				3.0830
33.00	3				
Sig.		1.000	1.000	1.000	1.000
Means for groups in homogeneous subsets are displayed.					
a. Uses Harmonic Mean Sample Size = 3.000.					



تیتر آنتی بادی علیه پروتئین های نوترکیب

تا به امروز واکسن های زیادی برای سیاهزخم ساخته شده؛ اما هنوز واکسنی ایده‌آل تولید نشده است. مطالعات نشان داده است که برای دست یابی به واکسنی کارآمد و مناسب، به استفاده از آنتی ژن محافظ (PA) و فاکتور کشنده (LF) در ترکیب با یکدیگر و ادجوانات ها نیاز است [۱۷, ۱۸]. بررسی توالی

شکل ۵. نمودار غلظت آنتی بادی تولید شده پس از تزریق سوم (رقت ۱/۲۰۰) پروتئین کایمر LFD1-PA4 به سه صورت آزاد، بارگذاری شده یک تزریق و بارگذاری شده دو تزریق علیه پروتئین های LFD1-PA4 و LFD1

یک فاکتور کشنده را در انتهای آمینی قرار دادند [۲۴]. آفای Makam و همکاران برای ساخت پروتئین کایمر از چهار آنتیزن محافظ و یک قطعه پروتئینی از انتهای کربوکسیلی آنتیزن قابل استخراج شماره ۱، دُمین چهار را در قسمت انتهای آمینی قرار دادند [۲۵].

آقای Shcherbinin و همکاران برای تولید پروتئین کایمر از دُمین ۴ آنتیزن محافظ و قسمت FC آنتیبادی IgG2a دُمین چهار را در قسمت انتهای کربوکسیلی پروتئین کایمر قرار دادند، گرچه قرار دادن آن در قسمت انتهای آمینی پروتئین کایمر نیز پاسخ آنتیبادی مشابهی ایجاد نمود [۲۶].

در مطالعه مشابه دیگری آقای Varshney و همکاران برای ساخت پروتئین کایمر از دُمین‌های ۴-۲ آنتیزن محافظ و دُمین یک فاکتور کشنده، دُمین یک را در انتهای آمینی قرار دادند [۲۷].

ابدوس و همکاران، برای تولید واکسن علیه سیاه‌زخم، از سه قطعه پروتئینی EFD1 (دومین انتهای آمینی فاکتور ادم)، LFD1 (دومین انتهای آمینی فاکتور کشنده) و PAD4 (دومین انتهای کربوکسیلی آنتیزن محافظ) به عنوان یک پروتئین کایمیریک سه قسمتی استفاده نمودند و با نرم‌افزار بیوانفورماتیک، PAD4 را در انتهای کربوکسیلی پروتئین کایمیریک حاصل قرار دادند. نتایج آن‌ها نشان داد که این حالت بهترین پایداری را دارد و II Instability Index پروتئین مورد نظر ۷۳/۴۰ محاسبه گردید، بنابراین تاییدکننده پروتئین کایمر مطالعه ما نیز محسوب می‌گردد [۲۸].

نتایج ارزیابی آنتیبادی IgG به روش الایزای غیر مستقیم نشان داد که در تمام گروه‌های تزریقی، میزان آنتیبادی در هر مرحله‌ی خون‌گیری افزایش یافته است و با مقایسه نتایج بین گروه‌های تزریقی و شاهد، اختلاف معنی‌داری از لحاظ آماری وجود دارد.

افزایش تیتر آنتیبادی در گروه‌هایی که نانوذرات حاوی آنتیزن کایمر را دریافت نموده بودند نشان می‌دهد که نانوذرات، توانسته‌اند به عنوان ادجوانات عمل کنند و با رهایش مناسب و طولانی‌مدت آنتیزن و قرار دادن در معرض سیستم ایمنی، آنتیبادی بیشتری را تولید نموده‌اند. میانگین غلظت آنتیبادی تولیدی علیه پروتئین‌های کایمر به صورت بارگذاری شده نسبت به آزاد، در سطح خطای ۵ درصد اختلاف معنی‌داری را نشان می‌دهد.

هم‌چنین اختلاف تیتر آنتیبادی بین گروه‌های یک بار تزریق بارگذاری شده و دو بار تزریق بارگذاری شده و آنتیزن آزاد، در سطح خطای پنج درصد معنی‌دار است و بیشترین تیتر آنتیبادی، مربوط به دو بار تزریق بارگذاری شده است. هم‌چنین

نوکلئوتیدی سویه‌های مختلف با سیلوس آتراسیس، نشان می‌دهد که تمام سویه‌ها از نظر توالی نوکلئوتیدی ژن *lef* و *pag* (آنچهای مسئول تولید فاکتور کشنده و آنتیزن محافظ) هم‌چنین توالی اسیدآمینه تولید شده، یکسان هستند. محققین به دنبال ساخت واکسن‌های مبتنی بر آنتیزن محافظ نوترکیب (rPA) برای سیاه‌زخم هستند. آنتیزن محافظ یکی از پروتئین‌های مهم از سوم سه گانه سیاه‌زخم است که از اسید آمینه تشکیل می‌گردد که از چهار دُمین تشکیل شده است. آنتیزن محافظ از طریق دُمین ۴ به گیرنده خود در سطح سلول میزبان اتصال می‌یابد و این دُمین شامل اکثر اپی‌توپ‌های حفاظتی PA است. دُمین ۴، دارای ۱۳۹ اسیدآمینه از انتهای کربوکسیلی آنتیزن محافظ (توالی اسیدآمینه‌ای از ۵۹۶ تا ۷۳۵) را تشکیل می‌دهد [۱۹].

در مطالعات انجام شده برای ساخت آنتیزن محافظ نوترکیب یا پروتئین کایمر توالی بازی مختلفی از انتهای کربوکسیلی آنتیزن محافظ انتخاب گردیده است از جمله Baillie و همکاران ۵۵۲ جفت باز [۲۰]، آقای Makam و همکاران ۴۱۱ جفت باز [۲۱] و رضایی و همکاران ۶۰۰ جفت باز [۲۲] انتهای کربوکسیلی آنتیزن محافظ را مورد مطالعه قرار داده‌اند.

ماهیت سه گانه سم سیاه زخم، این انتظار را به وجود می‌آورد که قسمت‌های دیگر سم، مانند فاکتور کشنده و PA نیز در تولید آنتیبادی‌های خنثی‌کننده سم تاثیر داشته باشند. در مطالعات مختلف مشاهده شده است که تجویز هم‌زمان فاکتور کشنده و PA میزان آنتیبادی علیه PA در موش را افزایش می‌دهد و این اثر ادجوانی فاکتور کشنده مربوط به قسمت انتهای آمینی آن یعنی LFD1 است. این ناحیه در مواردی توسط محققین برای انتقال آنتیزن‌های مختلف مورد استفاده قرار گرفته و مشاهده شده است که پاسخ‌های ایمنی مربوط به سلول‌های T⁺ CD4⁺ و CD8⁺ را ایجاد می‌نماید [۲۳].

با بررسی مطالعات مشابه انجام شده در این مورد و با توجه به این که دُمین ۱ فاکتور کشنده در قسمت انتهای آمینی پروتئین مذکور و PA4 به طور طبیعی در انتهای کربوکسیلی آنتیزن LFD1-PA4 انتخاب گردید.

آقای Baillie و همکاران پروتئین کایمر از دُمین یک فاکتور کشنده و دُمین ۴ آنتیزن محافظ با سیلوس آتراسیس طراحی کردند و دُمین ۴ آنتیزن محافظ را در انتهای کربوکسیلی پروتئین کایمر قرار دادند [۲۰]. آقای Wu و همکاران در طراحی و ساخت پروتئین کایمر از قطعات پروتئینی دُمین یک فاکتور کشنده و آنتیزن محافظ ۶۳ کیلودالتون (PA63)، دُمین

<https://doi.org/10.1086/341902>

PMid:12228822

[3] Flick-Smith HC, Eyles JE, Hebdon R, Waters EL, Beedham RJ, Stagg TJ, Williamson ED. Mucosal or parenteral administration of microsphere-associated *Bacillus anthracis* protective antigen protects against anthrax infection in mice. *Infect Immun* 2002; 70: 2022-2028.

<https://doi.org/10.1128/IAI.70.3.1653-1656.2002>

<https://doi.org/10.1128/IAI.70.4.2022-2028.2002>

PMid:11895967 PMCid:PMC127835

[4] Chichester JA, Musiychuk K, de la Rosa P, Horsey A, Stevenson N, Ugulava N, Yusibov, V. Immunogenicity of a subunit vaccine against *Bacillus anthracis*. *Vaccine* 2007; 25: 3111-3114.

<https://doi.org/10.1016/j.vaccine.2007.01.068>

PMid:17280756

[5] Hepburn MJ, Dyson EH, Simpson AJ, Brenneman KE, Bailey N, Wilkinson L, Baillie LW. Immune response to two different dosing schedules of the anthrax vaccine precipitated (AVP) vaccine. *Vaccine* 2007; 25: 6089-6097.

<https://doi.org/10.1016/j.vaccine.2007.05.018>

PMid:17604880

[6] Wei Y, Wang Y, Kang A, Wang W, Ho SV, Gao J, Su Z. A novel sustained-release formulation of recombinant human growth hormone and its pharmacokinetic, pharmacodynamic and safety profiles. *Mol Pharm* 2012; 9: 2039-2048.

<https://doi.org/10.1021/mp300126t>

PMid:22663348

[7] Zhang Y, Wu X, Han Y, Mo F, Duan Y, Li S. Novel thymopentin release systems prepared from bioresorbable PLA-PEG-PLA hydrogels. *Int J Pharm* 2010; 386: 15-22.

<https://doi.org/10.1016/j.ijpharm.2009.10.045>

PMid:19895878

[8] Makadia HK, Siegel SJ. Poly lactic-co-glycolic acid (PLGA) as biodegradable controlled drug delivery carrier. *Polymers* 2011; 3: 1377-1397.

<https://doi.org/10.3390/polym3031377>

PMid:22577513 PMCid:PMC3347861

[9] Des Rieux A, Fievez V, Garinot M, Schneider YJ, Préat, V. Nanoparticles as potential oral delivery systems of proteins and vaccines: a mechanistic approach. *J Control Release* 2006; 116: 1-27.

<https://doi.org/10.1016/j.jconrel.2006.08.013>

PMid:17050027

[10] Donati C, Rappuoli R. Reverse vaccinology in the 21st century: improvements over the original design. *Ann N Y Acad Sci* 2013; 1285: 115-132.

<https://doi.org/10.1111/nyas.12046>

PMid:23527566

[11] Moyle PM. Biotechnology approaches to produce potent, self-adjuvanting antigen-adjuvant fusion protein subunit vaccines. *Biotechnol Adv* 2017; 35: 375-389.

<https://doi.org/10.1016/j.biotechadv.2017.03.005>

PMid:28288861

[12] Albrecht MT, Li H, Williamson ED, LeButt CS, Flick-Smith HC, Quinn CP, Groen H. Human monoclonal antibodies against anthrax lethal factor and protective antigen act independently to protect against *Bacillus anthracis* infection and enhance endogenous immunity to anthrax. *Infect Immun* 2007; 75: 5425-5433.

<https://doi.org/10.1128/IAI.00261-07>

PMid:17646360 PMCid:PMC2168292

[13] Nguyen ML, Crowe SR, Kurella S, Teryzan S, Cao B, Ballard JD, Farris AD. Sequential B-cell epitopes of *Bacillus anthracis* lethal factor bind lethal toxin-neutralizing antibodies. *Infect Immun* 2009; 77: 162-169.

<https://doi.org/10.1128/IAI.00788-08>

PMid:18981257 PMCid:PMC2612257

[14] Ghasemi R, Abdollahi M, Zadeh EE, Khodabakhshi K, Badeli A, Bagheri H, et al. mPEG-PLA and PLA-PEG-PLA nanoparticles as new carriers for delivery of recombinant human Growth Hormone (rhGH). *Scientific Rep* 2018; 8: 9854.

<https://doi.org/10.1038/s41598-018-28092-8>

PMid:29959339 PMCid:PMC6026132

[15] Singh N, Mandal AK, Ahmed Khan Z. Fabrication of PLA-PEG nanoparticles as delivery systems for improved stability and controlled release of catechin. *J Nanomaterials*

بین تزریق بارگذاری شده یک تزریق و آزاد، اختلاف معنی داری مشاهده گردید. این مطلب بیانگر این است که می‌توان با بارگذاری آنتی‌زن کایمیر در نانوذرات PLA-PEG و یک بار تزریق (به جای چهار تزریق) میزان آنتی‌بادی بیشتری تولید نمود.

با توجه به این‌که نانوذرات حاوی آنتی‌زن کایمیر توانسته‌اند با رهایش تدریجی و عرضه آن به سیستم ایمنی، میزان قابل قبولی آنتی‌بادی تولید نمایند، نتایج الیزا نشان داد که در گروه نانوذرات حاوی آنتی‌زن کایمیر، سطح بالاتری از آنتی‌بادی نسبت به آنتی‌زن آزاد همراه ادجوانات تولید شده است.

در صنعت تولید واکسن، سیستم‌های سنتی آنتی‌زن رسانی که میزان بارگیری پایینی دارند، موجب تخریب بخشی از آنتی‌زن می‌شوند. پایداری کم، آزادسازی سریع آنتی‌زن را به دنبال دارد و انتقال مقدار موردنیاز آنتی‌زن به بدن حیوان، نیازمند تکرار تزریق است. لذا با توجه به تخریب کمتر و حفاظت بیشتر فعالیت آنتی‌زن در نانوذرات نسبت به استفاده از روش‌های سنتی و نیز تکرار تزریق کمتر، کاهش عوارض جانبی، هزینه کمتر و آهسته رهش بودن، استفاده از نانوذرات گرینه مناسب برای جایگزین شدن با سیستم‌های سنتی است. از طرفی دیگر به کارگیری آنتی‌بادی به‌منظور ایجاد ایمنی غیرفعال، می‌تواند روشی مناسب برای مقابله وقت و سریع علیه موارد بیماری باشد. هم‌چنین توسعه استفاده از نانوذرات حاوی پروتئین نوترکیب کایمیر، برای افرادی که بیشتر در معرض بیماری سیاه‌زخم هستند، می‌تواند با ایجاد ایمنی موثر، تاثیرات کشنده بیماری را به طور چشم‌گیری کاهش دهد. نتایج حاصل از این مطالعه نشان داد که دُمین چهار آنتی‌زن محافظ و اول فاکتور کشنده با یکدیگر ادغام پذیرند و آنتی‌زن فعلی را تولید می‌نمایند. این آنتی‌زن کایمیر، فعال است و قادر به تحریک سیستم دفاعی حیوان آزمایشگاهی می‌باشد. هم‌چنین نانو حامل‌های حاوی آنتی‌زن تولیدی با رهایش کنترل شده، می‌توانند سیستم ایمنی حیوان آزمایشگاهی را تحریک کنند.

تشکر و قدردانی

از تمامی اساتید، پژوهشگران و همکاران محترم در دانشگاه جامع امام حسین (ع)، که در به نتیجه رسیدن این تحقیق تلاش فراوان کرده‌اند، تشکر و سپاس‌گزاری می‌شود.

منابع

[1] Patocka J, Splino M. Anthrax toxin characterization. *Acta Medica (Hradec Kralove)* 2002; 45: 3-5.
<https://doi.org/10.14712/18059694.2019.49>

[2] Bartlett JG, Inglesby TV Jr, Borio L. Management of anthrax. *Clin Infect Dis* 2002; 35: 851-858.

- [23] Price BM, Liner AL, Park S, Leppla SH, Mateczun A, Galloway DR. Protection against anthrax lethal toxin challenge by genetic immunization with a plasmid encoding the lethal factor protein. *Infect Immun* 2001; 69: 4509-4515. <https://doi.org/10.1128/IAI.69.7.4509-4515.2001>
PMid:11401993 PMCid:PMC98526
- [24] Wu G, Hong Y, Guo A, Feng C, Cao S, Zhang CC, Liu Z. A chimeric protein that functions as both an anthrax dual-target antitoxin and a trivalent vaccine. *Antimicrob Agents Chemother* 2010; 54: 4750-4757. <https://doi.org/10.1128/AAC.00640-10>
PMid:20713663 PMCid:PMC2976106
- [25] Makam SS, Kingston JJ, Harischandra MS, Batra HV. Protective antigen and extractable antigen 1 based chimeric protein confers protection against *Bacillus anthracis* in mouse model. *Mol Immunol* 2014; 59: 91-99. <https://doi.org/10.1016/j.molimm.2014.01.012>
PMid:24513572
- [26] Shcherbinin DN, Esmagambetov IB, Noskov AN, Tutykhina IL, Shmarov MM, Logunov DY, Gintsburg AL. Protective immune response against *Bacillus anthracis* induced by intranasal introduction of a recombinant adenovirus expressing the protective antigen fused to the Fc-fragment of IgG2a. *Acta Natur* 2014; 6: 20. <https://doi.org/10.32607/20758251-2014-6-1-76-84>
<https://doi.org/10.32607/20758251-2014-76-84>
- [27] Varshney A, Puranik N, Kumar M, Goel AK. Immunogenicity of a chimeric protein of *Bacillus anthracis* protective antigen and lethal factor in murine model. *Int J Infect Dis* 2016; 45: 426. <https://doi.org/10.1016/j.ijid.2016.02.906>
<https://doi.org/10.1016/j.ijid.2016.02.907>
- [28] Abdous M, Hasannia S, Salmanian AH, Shahryar Arab S, Shali A, Alizadeh GA, Mohseni A. A new triple chimeric protein as a high immunogenic antigen against anthrax toxins: theoretical and experimental analyses. *Immunopharmacol Immunotoxicol* 2018; 1-7. <https://doi.org/10.1080/08923973.2018.1510419>
PMid:30621469
- 2017; 1-9.
<https://doi.org/10.1155/2017/6907149>
- [16] Mosayebi G, Abtahi H, Ghazavi A, Zareinfar N. Design of enzyme-linked immunosorbent assay method for detection of anti-streptolysin-O antibodies on base of recombinant streptolysin-O. *Koomesh J* 2012; 13: 362-367. (Persian).
- [17] Brey RN. Molecular basis for improved anthrax vaccines. *Adv Drug Deliv Rev* 2005; 57: 1266-1292. <https://doi.org/10.1016/j.addr.2005.01.028>
PMid:15935874
- [18] Bell M. DNA vaccine protects against anthrax. *Am Soc Microbiol Biodefense Res Meet Baltimore*. 2004.
- [19] McComb RC, Martchenko M. Neutralizing antibody and functional mapping of *Bacillus anthracis* protective antigen-the first step toward a rationally designed anthrax vaccine. *Vaccine* 2016; 34: 13-19. <https://doi.org/10.1016/j.vaccine.2015.11.025>
PMid:26611201
- [20] Baillie LW, Huwar TB, Moore S, Mellado-Sanchez G, Rodriguez L, Neeson BN, Altmann DM. An anthrax subunit vaccine candidate based on protective regions of *Bacillus anthracis* protective antigen and lethal factor. *Vaccine* 2010; 28: 6740-6748. <https://doi.org/10.1016/j.vaccine.2010.07.075>
PMid:20691267 PMCid:PMC3008506
- [21] Makam SS, Kingston JJ, Harischandra MS, Batra HV. Protective antigen and extractable antigen 1 based chimeric protein confers protection against *Bacillus anthracis* in mouse model. *Mol Immunol* 2014; 59: 91-99. <https://doi.org/10.1016/j.molimm.2014.01.012>
PMid:24513572
- [22] Rezaee M, Honari H, Kooshk MR. Cloning, expression and purification of binding domains of lethal factor and protective antigen of *Bacillus anthracis* in *Escherichia coli* and evaluation of their related murine antibody. *Mol Biol Rep* 2014; 41: 2445-2452. <https://doi.org/10.1007/s11033-014-3099-4>
PMid:24430302

Antibody titers of PEG-PLA block copolymer nanosphere containing chimeric recombinant protein of protective antigen and lethal factor of *Bacillus anthracis*

Hossein Honari (Ph.D)*, Mohammadebrahim Minaei (Ph.D), Hossein Mirhaj (Ph.D), Seyyed Masih Etemad- Ayoubi (Ph.D)

Dept. of Biology, Faculty of Basic Science, Imam Hossein Comprehension University, Tehran, Iran

* Corresponding author. +98 21 77105122 Honari.hosein@gmail.com

Received: 24 Apr 2020; Accepted: 7 Dec 2020

Introduction: To date, many vaccines have been developed for anthrax but not yet an ideal vaccine. In this study, chimeric protein containing domain 1 lethal factor and domain 4 protective antigens of *Bacillus anthracis* in copolymer nanocapsules were used to solve the problems caused by existing vaccines and to increase the efficiency of the proposed vaccine.

Materials and Methods: In this experimental study, dual solvent evaporation method was used to produce nanocapsules containing chimeric recombinant protein of protective antigen and lethal factor of *Bacillus anthracis*. Zeta potential of nanoparticles, nanoparticle loading efficiency, recombinant protein release pattern, potential effect of poly (lactic acid)- poly (ethylene glycol) nanoparticle (PLA-PEG) production on the viability of recombinant proteins were investigated. Mice were used as test and control samples for antibody production and immune response evaluation.

Results: The mean antibody titer produced against chimeric proteins loading was significantly different from that of free antigens. Correspondingly, the difference in antibody titer was significant between the groups of one and two times' injection of loading and free antigens and the most antibody titer was related to two times injections of loading antigens. In addition, there was a significant difference between one times injection of loading and the free antigens. This suggests that the loading chimeric antigen on PLA-PEG nanoparticles and one time injection (instead of four times injections) could produce more antibodies.

Conclusion: The results of this study showed that the domain 4 protective antigens and the domain 1 lethal factor of *Bacillus anthracis* could chimeric with each other and produced the active antigen. This chimeric antigen (LFD1-PA4) is active and able to inducing the animal's immune system. In addition, nanocarriers containing controlled release antigens can induce the immune system of the animal.

Keywords: Recombinant Fusion Proteins, Bacterial Antigens, *Bacillus Anthracis*, Vaccine, Anthrax